

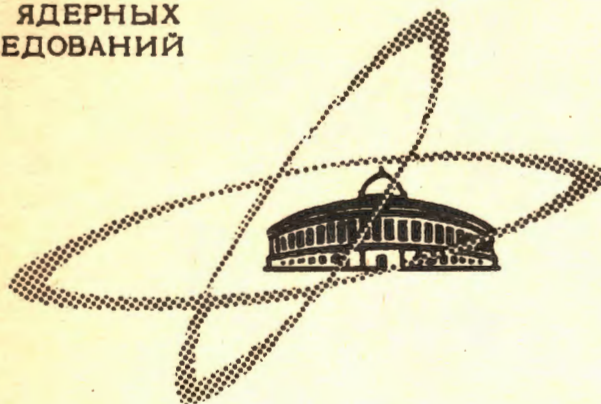
B-465

Nucl. Phys., 1967, v. A99, N4,  
p. 585-604

ОБЪЕДИНЕННЫЙ  
ИНСТИТУТ  
ЯДЕРНЫХ  
ИССЛЕДОВАНИЙ

Дубна

P = 2762



Междисциплинарные промыслы

Лаборатория

К. Вильский , К.Я. Громов, М. Йоргенсен ,  
В.В. Кузнецов, М.Я. Кузнецова, О.Б. Нильсен ,  
О. Скилбрайт , Я. Урбанец, М. Фингер

ИССЛЕДОВАНИЕ ИЗЛУЧЕНИЯ  $^{152}\text{Tb}$

1966

P - 2702

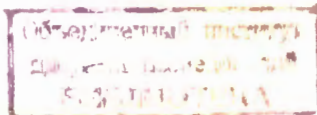
К. Вильский<sup>x/</sup>, К.Я. Громов, М. Йоргенсен<sup>x/</sup>,  
В.В. Кузнецов, М.Я. Кузнецова, О.Б. Нильсен<sup>x/</sup>,  
О. Скилбрайт<sup>x/</sup>, Я. Урбанец, М. Фингер

ИССЛЕДОВАНИЕ ИЗЛУЧЕНИЯ  $^{152}\text{Tb}$

4335/2 my

Направлено в Изв. АН СССР,  
Nucl.Phys.

<sup>x/</sup>Институт им. Нильса Бора.



В настоящей работе исследовались спектры  $e-\gamma$ ,  $\beta^+ - \gamma$  -совпадений и спектр конверсионных электронов ( $E_e < 1000$  кэв)  $^{152}Tb$  на тороидальном шестизазорном  $\beta$ -спектрометре, исследовался спектр конверсионных электронов ( $E_e > 1000$  кэв) на магнитном  $\beta$ -спектрометре с двухкратной фокусировкой на угол  $\pi\sqrt{2}$ ; изучался спектр  $\gamma$ -лучей с помощью двух германиевых полупроводниковых детекторов: плоскопараллельного  $Ge(Li)$ -детектора с размерами  $0,7 \text{ см}^2 \times 0,35 \text{ см}$  и коаксиального  $Ge(Li)$ -детектора с чувствительным объемом  $\sim 5 \text{ см}^3$  и внешними размерами  $3,14 \text{ см}^2 \times 1,8 \text{ см}$ .

На основании полученных результатов предложена схема распада  $^{152}Tb \rightarrow ^{152}Gd$ . Схема распада включает известные ранее уровни с энергиями до 1842,5 кэв, а также уровни с энергиями 2247,6 и 2867,7 кэв. Кроме того, введен дополнительно ряд новых уровней, в том числе уровни  $0^+$  с энергиями 1484,0 и 2720,7 кэв.

Относительные доли позитронного распада  $^{152}Tb$  на уровне с энергией 615,6 кэв ( $0^+$ ), 344,4 ( $2^+$ ) и в основное состояние ( $0^+$ )  $^{152}Gd$  оцениваются как 0,2: 0,3: 1,0, соответственно.

Основному состоянию  $^{152}Tb$  приписаны квантовые характеристики  $1^-$ . Уровням с энергиями 755,6; 1109,8; 1123,8; 1318,6; 1808,1; 1843,9; 1862,3 и 1842,5 кэв приписаны квантовые характеристики  $4^+, 2^+, 3^-, 2^+, 2^+, 1^-, 2^+$  и  $2^+$  соответственно.

В 1959 г. Тот, Фалер и Гасмусен <sup>1/1</sup> впервые идентифицировали изотоп  $^{152}Tb$  ( $T_{1/2} = 18,5$  час), полученный в реакциях



наблюдая  $\gamma$ -переход с энергией 344,1 кэв, возникающий также в  $^{152}Gd$  при распаде  $^{152}Eu$ . В дальнейшем исследование излучения  $^{152}Tb$  проводилось авторами многих работ (см. <sup>1/2/</sup> <sup>3/</sup>). В работе <sup>1/2/</sup> при изучении спектров конверсионных электронов,  $\gamma$ -лучей,  $\gamma-\gamma$ - и  $e-\gamma$  -совпадений использовался источник  $^{152}Tb$ , приготовленный с помощью масс-сепаратора. В большинстве последующих работ (см. <sup>1/2/</sup>) в качестве измеряемого препарата при исследовании излучения  $^{152}Tb$  использовалась смесь изотопов тербия, получающихся в результате реакций расщепления тантала под действием высок-

коэнергичных протонов. Присутствие в измеряемом препарате наряду с  $^{152}\text{TB}$  изотопов  $^{151}\text{TB}$  и  $^{154}\text{TB}$ , имеющих периоды полураспада, близкие к периоду полураспада  $^{152}\text{TB}$ , значительно затрудняло анализ результатов измерения.

Исследования спектра  $\gamma$ -излучения  $^{152}\text{TB}$  до сих пор проводились на сцинтилляционных  $\gamma$ -спектрометрах, что также затрудняло проведение анализа экспериментальных данных.

Наиболее полные исследования излучения  $^{152}\text{TB}$  проведены в работе <sup>2/</sup>, в которой изучались спектры  $\gamma$ -лучей и  $\gamma-\gamma$ -совпадений на сцинтилляционном  $\gamma$ -спектрометре, а также исследовались спектры позитронов и конверсионных электронов. Однако экспериментальных данных до настоящего времени недостаточно для полного представления о схеме распада  $^{152}\text{TB} \rightarrow ^{152}\text{Gd}$

Экспериментальные данные об уровнях ядра  $^{152}\text{Gd}$  представляют интерес с точки зрения проверки существующих теоретических представлений относительно природы возбужденных состояний четно-четных ядер.

В настоящей работе проводилось исследование спектров  $\gamma$ -лучей с помощью генераторных полупроводниковых детекторов (Институт имени Нильса Бора и ОИЯИ),  $\beta-\beta$ -<sup>4/</sup> и  $e-\gamma$ -совпадений с помощью тороидального шестизазорного  $\beta$ -спектрометра и сцинтилляционного  $\gamma$ -спектрометра (Институт имени Нильса Бора) и спектра конверсионных электронов с помощью тороидального шестизазорного  $\beta$ -спектрометра и магнитного  $\beta$ -спектрометра с двухкратной фокусировкой на угол  $\pi/2$ <sup>5/</sup> (Институт имени Нильса Бора и ОИЯИ).

### Экспериментальная часть

#### a) Приготовление источников

Изотопы тербия получались в результате расщепления ядер тантала под действием протонов с энергией 660 Мэв на синхроциклотроне Объединенного института ядерных исследований в Дубне. Мишени тантала облучались в течение  $2 \div 10$  часов. Из облученных мишеней химическим путем выделялась группа редкоземельных элементов. Тербийевая фракция, содержащая в себе  $^{152}\text{TB}$  выделялась из смеси редкоземельных элементов хроматографическим методом <sup>6/</sup>.

При исследовании излучения  $^{152}\text{TB}$  в данной работе было использовано три типа препаратов:

Препарат I – тербийевая фракция, т.е. смесь всех изотопов тербия, выделенная из облученной мишени тантала.

Препарат II – препарат тербия, выделенный как дочерний продукт из диспрозиево-

вой фракции через 1  $\div$  6 часов после хроматографического выделения этой фракции из группы редкоземельных элементов. Препарат содержал в основном  $^{152}\text{TB}$  а также  $^{153}\text{TB}$  и  $^{155}\text{TB}$ . Эти изотопы легко идентифицировать по периодам полураспада; кроме того, энергия  $\gamma$ -излучения  $^{153}\text{TB}$  и  $^{155}\text{TB}$  не превышает 1000 кэв<sup>17/</sup>, что также значительно упрощало исследование спектров  $\gamma$ -лучей и конверсионных электронов  $^{152}\text{TB}$ .

Препарат III — изотоп  $^{152}\text{TB}$ , выделенный из тербийевой фракции с помощью масс-сепаратора<sup>18/</sup> в Институте имени Нильса Бора. Разделение изотопов тербия на масс-сепараторе проводилось через  $\sim 15$  часов после хроматографического разделения редкоземельных элементов в Объединенном институте ядерных исследований.

#### б) Исследование спектра конверсионных электронов

Спектр конверсионных электронов в энергетической области ниже 1000 кэв изучался с помощью тороидального шестизазорного  $\beta$ -спектрометра<sup>14/</sup> с использованием препарата III. Спектр конверсионных электронов в области энергий выше 1000 кэв исследовался на магнитном  $\beta$ -спектрометре<sup>15/</sup> с двухкратной фокусировкой на угол  $\pi/2$  с использованием препаратов I и II.

Регистрация электронов на тороидальном шестизазорном  $\beta$ -спектрометре осуществлялась двумя независимыми сцинтилляционными счетчиками, позволяющими измерять одновременно два спектра конверсионных электронов; причем один из них измерялся с "высоким" разрешением (разрешение  $\sim 0,5\%$ , светосила  $\sim 1\%$ ), а другой — с высокой светосилой (разрешение  $\sim 1\%$ , светосила  $\sim 8\%$ ). Спектр, полученный при разрешении  $\sim 0,5\%$ , представлен на рис. 1; относительные интенсивности

$K$ -линий конверсионных электронов приведены в таблице 1. Спектр, измеряемый с разрешением  $\sim 1\%$  был полезен при постановке опытов по исследованию  $e-\gamma$ -соппадений.

Магнитный  $\beta$ -спектрометр с двухкратной фокусировкой на угол  $\pi/2$  имеет разрешение  $\sim 0,2\%$  и светосилу  $\sim 0,1\%$ . Практическое отсутствие фона этого прибора позволяло исследовать линии конверсионных электронов очень малой интенсивности.

Для определения энергии  $K$ -конверсионных электронов, соответствующих переходам с энергией 615,6; 974,3; 1047,8; 2589,0 и 2720,7 кэв в ядре  $^{152}\text{Gd}$  проведены измерения на смеси препаратов тербия и  $Th(B+C+C')$ ; энергии конверсионных электронов  $Th(B+C+C')$  известны с высокой точностью<sup>19,10/</sup> и использовались в качестве калибровочных значений. Энергии выше указанных конверсионных электронов определены с точностью 0,07%, точность определения энергий других конверсионных электронов  $^{152}\text{TB}$  не хуже 0,1%.

Энергия переходов в ядре  $^{152}\text{Gd}$  и относительные интенсивности  $K$ -линий соответствующих конверсионных электронов приведены в таблице 1. В этой таблице результа-

ты настоящей работы сравниваются с результатами работы<sup>1/2</sup>. Из таблицы видно, что нами обнаружено более 20 новых переходов, сопровождающих распад  $^{152}\text{Tb}$  и уточнены энергии и относительные интенсивности  $\gamma$ -лучей конверсионных электронов для ряда ранее известных переходов.

На тороидальном шестизazorном  $\beta$ -спектрометре был измерен период полураспада  $^{152}\text{Tb}$  по спаду интенсивности  $\gamma$ -лучия конверсионных электронов перехода с энергией 344,4 кэв. Он равен  $17,5 \pm 0,1$  часа.

### в) Исследование $\gamma$ -спектра

Гамма-излучение  $^{152}\text{Tb}$  исследовалось с помощью двух германиевых полупроводниковых детекторов: плоскопараллельного  $\text{Ge(Li)}$ -детектора с размерами  $0,7 \text{ см}^2 \times 0,35 \text{ см}$  и 1024-канального анализатора (исследовательский центр в Рисе при комиссии по атомской энергии в Дании) и коаксиального  $\text{Ge(Li)}$ -детектора с чувствительным объемом  $\sim 3 \text{ см}^3$  с внешними размерами  $3,14 \text{ см}^2 \times 1,8 \text{ см}$  и 2048-канального анализатора (Объединенный институт ядерных исследований).

При измерениях гамма-спектра  $^{152}\text{Tb}$  на коаксиальном  $\text{Ge(Li)}$ -детекторе использовался фильтр ( $P\delta = 4$  мм,  $\text{Cu} = 1$  мм,  $\text{Cd} = 0,7$  мм,  $\text{Al} = 1$  мм) для поглощения спонтанного излучения и интенсивного  $\gamma$ -излучения  $^{152}\text{Tb}$  в области энергий до 100 кэв.

Излучение  $\gamma$ -лучия с энергией 874,3 кэв  $^{152}\text{Tb}$  составляла  $\sim 7$  кэв и  $\sim 10$  кэв для плоскопараллельного и коаксиального детектора соответственно. Полученные  $\gamma$ -спектры приведены на рис. 2 и 3. Энергии и относительные интенсивности  $\gamma$ -лучей приведены в таблице 2. Указанные в таблице ошибки определения интенсивности  $\gamma$ -лучей не включают ошибок, обусловленных возможной неточностью зависимостью эффективности регистрации  $\gamma$ -лучей от энергии.

### г) Исследование спектров $e-\gamma$ и $\beta^+-\gamma$ -совпадений

Спектры  $e-\gamma \rightarrow \beta^+-\gamma$ -совпадений исследовались на тороидальном шестизazorном  $\beta$ -спектрометре (разрешение  $\sim 1\%$ , светосила  $\sim 9\%$ ) и  $\gamma$ -спектрометре с 612-канальным амплитудным анализатором с кристаллом  $\text{NaJ(Tl)}$  ( $7,0 \text{ см} \times 7,6 \text{ см}$ ), имеющим разрешение на линии цезия  $= 137$  ( $E_\gamma = 661$  кэв)  $\sim 8\%$ .

Возможность регистрации электронов, отличающихся по энергии на 1,8%, на тороидальном  $\beta$ -спектрометре с двумя независимыми спиральными датчиками позволила измерять два спектра  $e-\gamma$ -совпадений одновременно: спектр совпадения спектров на максимуме конверсионной линии с  $\gamma$ -лучами  $^{152}\text{Tb}$  и спектр фоновых совпадений электронов от яичной конверсионной линии ( $E_e > E_K$ ) с  $\gamma$ -лучами  $^{152}\text{Tb}$ .

Изучался также спектр совпадений испаренных в широкой области 1580 кэв с  $\gamma$ -лучами  $^{152}\text{Tb}$ .

Ческо́лько основных спектров  $e-\gamma$  - совпадений и спектр  $\beta^+-\gamma$  - совпадений приведены на рис. 4 и 5.

Результаты, полученные из анализа спектров  $e-\gamma$  - и  $\beta^+-\gamma$  - совпадений, использовались при построении схемы распада  $^{152}Tb \rightarrow ^{152}Gd$  и в некоторых случаях для расчета коэффициентов внутренней конверсии переходов.

#### д) Схема распада

Анализ спектров гамма-лучей и конверсионных электронов позволил рассчитать экспериментальные значения коэффициентов внутренней конверсии и определять мультипольности для большинства переходов в ядре  $^{152}Gd$ . При определении экспериментальных коэффициентов внутренней конверсии принималось, что переход с энергией 344,4 кэв является переходом типа E2. Рассчитанные и теоретические значения  $^{111}$  коэффициентов внутренней конверсии и предполагаемые мультипольности переходов приведены в таблице 3.

Применение германиевых полупроводниковых детекторов для измерения  $T$ -спектра  $^{152}Tb$  дало возможность более надежно определить мультипольности ряда переходов в ядре  $^{152}Gd$ , возникающих при распаде  $^{152}Tb$ .

Анализ спектров  $e-\gamma$ - и  $\beta^+-\gamma$ -совпадений, более точное экспериментальное определение энергий и коэффициентов внутренней конверсии переходов в ядре  $^{152}Gd$ , возникающих при распаде  $^{152}Tb$  позволили нам ввести в схему распада  $^{152}Tb \rightarrow ^{152}Gd$  ряд новых уровней и более надежно приписать квантовые характеристики некоторым ранее известным уровням. Предлагаемая схема распада  $^{152}Tb \rightarrow ^{152}Gd$  показана на рис. 6.

Уровни, переходы с которых отмечены точками, введены на основе анализа спектров  $e-\gamma$  и  $\beta^+-\gamma$  - совпадений. Схема распада включает известные ранее уровни с энергиями до 1942 кэв, а также уровни с энергиями 2247,8 и 2867,7 кэв.

Рассмотрим более подробно отдельные уровни  $^{152}Gd$ .

Основное состояние четно-четного ядра  $^{152}Gd$  имеет квантовые характеристики  $0^+$ . Из анализа спектров  $\beta^+-\gamma$  -совпадений и результатов работы  $^{12}/2$  следует, что относительные доли позитронного распада  $^{152}Tb$  на уровни с энергиями 615,6 кэв ( $0^+$ ), 344,4 кэв ( $2^+$ ) и в основное состояние ( $0^+$ )  $^{152}Gd$  находятся в отношении 0,2; 0,3; 1,0 соответственно.

На основе анализа  $\beta^+-\gamma$  -совпадений (рис. 5) основному состоянию  $^{152}Tb$  следует приписать квантовые характеристики  $1^-$ , возбужденному состоянию  $^{152}Gd$  с энергией 755,6 кэв -  $4^+$ , что подтверждается также отсутствием прямого перехода с этого уровня в основное состояние  $^{152}Gd$ .

Уровням с энергиями 1109,8; 1123,8; 1318,6; 1606,1; 1649,0; 1862,3 и 1942,5 кэв

на основе анализа спектров  $e-\gamma$  - совпадений и экспериментальных значений коэффициентов внутренней конверсии переходов приписаны квантовые характеристики  $2^+, 3^-, 2^+$ ,  $2^+, 1^-, 2^+, 2^+$  соответственно.

На основе анализа спектров  $\gamma$ -лучей и конверсионных электронов можно предположить, что переходы с энергиями 1238,7; 1484 и 2720,7 кэВ являются монопольными переходами.

Уровень 2720,7 кэВ ( $0^+$ ) введен на основе совпадений  $\gamma$ -лучей с энергией 2376,2 кэВ с переходом 344,4 кэВ и наблюдаемого перехода с энергией 2720,7 кэВ в спектре конверсионных электронов. Непосредственное наблюдение в спектре конверсионных электронов переходов с энергиями 1238,7 и 1484,0 кэВ и сумма их энергий ( $1484,0 + 1238,7$ ) кэВ = 2720,7 кэВ позволили ввести уровень 1484,0 кэВ ( $0^+$ ).

На основе баланса интенсивностей и спектра  $e-\gamma$ -совпадений с конверсионными электронами перехода 432,5 кэВ переход с энергией 623,1 кэВ следует разместить между уровнями 1942,5 и 1318,8 кэВ, предположив при этом существование перехода с энергией 270,7 кэВ между уровнями 1318,8 и 1047,9 кэВ. Интенсивность перехода 270,7 кэВ определяется  $\sim 10$  относительно  $\gamma$ (344,4 кэВ) = 1000.

Уровни 344,4 кэВ ( $2^+$ ), 615,6 кэВ ( $0^+$ ), 931,2 кэВ ( $2^+$ ) и 1047,9 кэВ ( $0^+$ ) надежно обоснованы в работах /1-3/ и хорошо подтверждаются результатами настоящей работы.

Из баланса интенсивностей предложенной схемы распада  $^{152}Tb \rightarrow ^{152}Gd$  рассчитаны значения  $lgf\tau$ , которые приведены на рис. 6.

#### Обсуждение результатов

Для четно-четного ядра  $^{152}Gd$  находящегося в переходной области от сферических к деформированным ядрам, интересно было получить сведения о свойствах возбужденных уровней.

Первый возбужденный уровень 344,4 кэВ ( $2^+$ ) рассматривается как однофонное квадрупольное колебательное состояние, а уровни 615,8 кэВ ( $0^+$ ), 775,6 кэВ ( $4^+$ ) рассматриваются как члены триплета двухфононного колебательного состояния /3,12,13/.

Анализ спектров  $e-\gamma$ -совпадений с конверсионными электронами К-344 кэВ и К-615,6 кэВ позволил ввести уровень с энергией 1318,8 кэВ ( $2^+$ ), который разряжается переходами 1317,4; 974,3; 703,9 кэВ с соотношением интенсивностей как 1:3:2 соответственно. При исследовании распада  $^{152}Eu$  /12/ введен уровень в ядре  $^{152}Gd$  с энергией 1315,0 кэВ ( $1^-$ ), разряжающийся переходами типа E1 с энергией 1315,0; 970,3 и 700,2 кэВ, интенсивности которых относятся как 1:0,4:0,04 соответственно. Из энергетических сооб-

ражений и заключения о мультипольностях переходов 1317,4; 974,3; 703,8 кэв и их относительных интенсивностей следует сделать вывод, что уровень 1318,6 кэв ( $2^+$ ), возбуждающийся при распаде  $^{152}\text{TB}$  и уровень 1315,0 кэв ( $1^-$ ), возбуждающийся при распаде  $^{152}\text{Eu}$  являются разными уровнями.

Целесообразно сравнить ядра  $^{152}\text{Gd}$  и  $^{150}\text{Sm}$ , имеющие одинаковое число нейтронов ( $N = 88$ ) и подобное расположение нижних возбужденных уровней. Сравнение уровней  $^{152}\text{Gd}$  и  $^{150}\text{Sm}$  приведено на рис. 7. Как видно из рисунка, первые возбужденные состояния этих ядер имеют близкие энергии и квантовые характеристики  $2^+$ . Уровни 815,8 кэв ( $0^+$ ) в  $^{152}\text{Gd}$  соответствует уровню 740 кэв ( $0^+$ ) в  $^{150}\text{Sm}$ , уровню 755,6 кэв ( $4^+$ ) в  $^{152}\text{Gd}$  - 773 кэв ( $4^+$ ) в  $^{150}\text{Sm}$  а уровню 831,1 кэв ( $2^+$ ) в  $^{152}\text{Gd}$  - 1047 кэв ( $2^+$ ) в  $^{150}\text{Sm}$ . Наблюдается также подобное соответствие между уровнями 1047,9 кэв ( $0^+$ ); 1109,8 кэв ( $2^+$ ); 1282,7 кэв ( $4^+$ ) и 1123,8 кэв ( $3^-$ ) в ядре  $^{152}\text{Gd}$  и уровнями 1258 кэв ( $0^+$ ); 1187 кэв ( $2^+$ ); 1451 кэв ( $4^+$ ) и 1071 кэв ( $3^-$ ) в ядре  $^{150}\text{Sm}$  соответственно.

Из сопоставления схем уровней  $^{152}\text{Gd}$  и  $^{150}\text{Sm}$  уровню с энергией 1282,7 кэв в ядре  $^{152}\text{Gd}$  по-видимому, следует приписать квантовые характеристики  $4^+$ .

В таблице 4 приведены отношения приведенных вероятностей переходов с аналогичными уровнями в  $^{152}\text{Gd}$  и  $^{150}\text{Sm}$  по данным настоящей работы и работ /3, 14-18/. Приведенные вероятности для монопольных переходов считались по формуле  $B(E0) = e^2 R^4 \rho^2$ , где  $e$  - заряд электрона,  $R$  - радиус ядра ( $R = 1,2 \cdot 10^{-13} A^{1/3}$ ),  $\rho$  - ядерный "силовой параметр" /17/. Из сопоставления отношений приведенных вероятностей для аналогичных уровней  $^{152}\text{Gd}$  и  $^{150}\text{Sm}$  видно, что эти уровни обладают похожими свойствами. Однако обращает на себя внимание то, что нижние уровни  $^{152}\text{Gd}$  расположены в основном ниже, чем соответствующие уровни  $^{150}\text{Sm}$ . Это может быть связано с тем, что ядро  $^{152}\text{Gd}$  находится ближе к области деформированных ядер по сравнению с ядром  $^{150}\text{Sm}$ .

В заключение один из авторов, В.В. Кузнецов, приносит искреннюю благодарность профессору Оге Бору за гостеприимство и предоставленную возможность проведения экспериментов в Институте имени Нильса Бора. Авторы выражают также благодарность коллективу радиохимической группы Лаборатории ядерных проблем ОИЯИ за работы по приготовлению препаратов тербия; Ж.Т. Желеву и В.Г. Калинникову за ценные замечания и обсуждение результатов; П. Галану, И. Адаму, В. Быстрицкому и А. Липтак за участие в измерениях и помочь при обработке результатов.

Л и т е р а т у р а

1. K.S.Toth,, K.T.Faler, J.O.Rasmussen. Phys.Rev., 115, 158 (1959).
2. К.Я. Громов, Д.А. Еичев, Ж.Т. Желев, И. Звольский, В.Г. Калинников, В.В. Кузнецов, Ма Хо Их, Г. Музоль, Хань Шу-жунь. Ядерная физика, 1, 582 (1965).
3. K.S.Toth, O.B.Nielsen, O.Skilbreid. Nucl.Phys., 19, 389 (1960).
4. O.B.Nielsen, O.Kofoed-Hansen. Mat.Fys.Medd.Dan.Vid.Selsk. 29, № 6 (1955)..
5. J.Adam, V.G.Chumin, Yu.N.Denisov, M.Finger, K.Ya.Gromov, M.Ya.Kuznetsova, Lu Si-ting. Preprint, E-2494, Dubna, 1965.
6. Б.К. Пребраженский, А.В. Калямин, О.М. Лихова. ЖЭТФ, 2, 1184 (1957).
7. Б.С. Джелепов, Л.К. Пекер, В.О. Сергеев. Схемы распада радиоактивных ядер. Изд. АН СССР, М-Л, 1963.
8. K.O.Nielsen, O.Skilbreid. Nucl. Instr., 2, 15(1958).
9. R.L. Graham, G.Murray, J.S. Geiger. Can.J.Phys., 43, 171 (1965).
10. T.A.Jungerman, M.E.Gardner, C.G.Patten, N.F.Peek. Nucl.Instr. and Meth. 15, 1 (1962).
11. Гамма-лучи. Под редакцией Л.А. Слива. Изд. АН СССР, М-Л, 1961.
12. I.Marklund, O.Nathan, O.B. Nielsen. Nucl.Phys. 15, 199 (1960).
13. K.Alder, A.Bohr, T.Huuns, B.Mottelson, A. Winther. Rev.Mod.Phys., 28, 432 (1956).
14. Л.В. Грошев, А.П. Демидов, В.А. Иванов, В.Н. Луценко, В.И. Пелехов . Изв. АН СССР, сер. физ., 27, 216, 1963.
15. B.Harmatz, T.H.Handley, J.M.Mihelich. Phys.Rev., 123, 1758 (1961).
16. M.Guttman, E.G.Funk, T.M.Mihelich. Nucl.Phys. , 64, 401 (1965).
17. E.L.Church, J.Weneser. Phys.Rev., 103, 1035 (1956).

Рукопись поступила в издательский отдел  
26 мая 1966 г.

т а б л и ц а I

Энергии переходов и относительные интенсивности К-линий  
конверсионных электронов  $^{152}\text{Tb}$

№ пп	$\beta$ -спектрометр 1 <sup>a)</sup>		$\beta$ -спектрометр 2 <sup>b)</sup>		К.Я.Громов и др. <sup>/2/</sup>	
	E пере- хода, кэВ	$\frac{J_x}{J_{\text{K}615,6}} \times 10^3$	E пере- хода, кэВ	$\frac{J_x}{J_{\text{K}615,6}} \times 10^3$ <sup>b)</sup>	E пере- хода, кэВ	$\frac{J_x}{J_{\text{K}615,6}} \times 10^3$
I	2	3	4	5	6	7
I.	117,3	$36,6 \pm 10,0$			-	-
2.	271,2	$600 \pm 60$			271,2	$480 \pm 50$
3.	315	$\sim 45,0$			-	-
4.	344,4	$2040 \pm 80$			344,4	$1860 \pm 100$
5.	351,5	7,0			351,5	$7,5 \pm 1,5$
6.	368	4,0			-	-
7.	411,2	$67,2 \pm 4,3$			411,2	$84 \pm 8$
8.	432,5	$438 \pm 4$			432,5	$380 \pm 40$
9.	496,7	$10,3 \pm 0,5$			496,7	$12,0 \pm 2,6$
10.	527,1	$19,8 \pm 1,0$			527,1	$17,0 \pm 1,6$
II.	543,5	$6,1 \pm 1,0$			-	-
12.	557	$\sim 1,2$			-	-
13.	586,7	$168 \pm 8$			586,7	$175 \pm 15$
14.	615,6	1000			615,6	1000
15.	623,1	-			623,1	$9,0 \pm 0,9$
16.	675,6	3,3			675,6	$2,9 \pm 0,6$
17.	679,2	-			679,2	$1,5 \pm 0,5$
18.	703,9	$12,5 \pm 0,2$			703,9	$10,5 \pm 0,9$
19.	752,9	-			752,9	$2,3 \pm 0,7$
20.	765,6	$12,6 \pm 1,0$			765,6	$18,0 \pm 2,5$

1	2	3	4	5	6	7
21.	779,4	7,9±1,0			779,4	9,0±1,0
22.	928,9	-			928,9	1,2±0,5
23.	931,2	-			931,2	5,3±0,8
24.	974,6	I4,4±2,0	974,3	I2,90±1,30	974,6	I3,0±1,2
25.	991,2	~1,3	990,7	I,26±0,13	991,2	2,5±0,6
26.			I047,9 <sup>x)</sup>		I048,2	I8,0±1,8
27.			II09,8	5,90±0,60	III0,3	5,3±0,6
28.			II38,0	2,80 ±0,30	II38,3	3,4±0,5
29.			II86,3	0,23±0,04	II87,0	~ 0,3
30.			-	-	I206	~ 0,4
31.			I236,7	0,35±0,10	-	-
32.			I261,7	I,31±0,13	I263	2,2±0,3
33.			I299,5	I,16±0,10	I300	I,2±0,3
34.			-	-	I303	0,9±0,3
35.			I317,4 <sup>x)</sup>	-	I319	I,6±0,3
36.			I326,1	I,08±0,06	I328	I,3±0,3
37.			I348,7 <sup>x)</sup>	-	I348	0,8±0,2
38.			I352,7 <sup>x)</sup>	-	I352	0,6±0,2
39.			I361 <sup>x)</sup>	-	I361	0,3±0,15
40.			I411,7	0,52±0,09	I412	0,7±0,2
41.			I447,2	0,21±0,06	-	-
42.			I484,1	0,76±0,04	-	-
43.			I496,0	0,50±0,01	-	-
44.			I518,4	0,82±0,09	I519	I,0±0,2
45.			I532,4	0,19±0,04	-	-
46.			I560,2	0,74±0,11	-	-
47.			I585,8	I,24±0,12	I588	0,5±0,2

I	2	3	4	5	6	7
48.			1596,8	$I_{40 \pm 0,14}$	1598	$0,6 \pm 0,3$
49.			1670,3	$0,56 \pm 0,07$	1667	$\sim I,0$
50.			1757,3	$0,41 \pm 0,05$	-	-
51.			1790,3	$0,24 \pm 0,03$	1791	$0,6 \pm 0,3$
52.			1862,3	$0,53 \pm 0,06$	-	-
53.			1903,2*)	-	1905	2,2
54.			1921,6*)	-	-	-
55.			1942,5*)	-	1941	1,2
56.			2253,3*)	-	-	-
57.			2258,2*)	-	-	-
58.			2265,4*)	-	-	-
59.			2366,3	$0,47 \pm 0,05$	2371	I,I
60.			2376,2	$0,72 \pm 0,07$		
61.			2406,2	$0,52 \pm 0,05$	2403	$\sim 0,8$
62.			2521,7	$0,12 \pm 0,02$	2526	$< 0,3$
63.			2536,7	$0,21 \pm 0,02$	-	-
64.			2589,0	$0,20 \pm 0,01$	2582	$< 0,3$
65.			2620,1	$0,14 \pm 0,02$	-	-
66.			2667,7	$0,09 \pm 0,02$	2667	$< 0,2$
67.			2698,8	$0,10 \pm 0,01$	2707	$< 0,4$
68.			2710,7	$0,10 \pm 0,01$		
69.			2720,7	$0,13 \pm 0,01$	-	-
70.			2796,7	$0,030 \pm 0,003$	2803	$< 0,1$

\*) Определены только значения энергий конверсионных электронов.

а) Тороидальный магнитазорный  $\beta$  - спектрометр.

б) Магнитный  $\beta$  -спектрометр с двухкратной фокусировкой на угол  $\pi/\sqrt{2}$ .

в) Интенсивности определены как  $\frac{J_x}{J_k 1047,9} \times \frac{J_k 1047,9}{J_k 615,6} \cdot 10^3 = \frac{J_x}{J_k 1047,9} \times 18$ .

Таблица 2  
 Относительные интенсивности  $\gamma$ -лучей  $^{152}\text{Tb}$

№ пп	$\text{Ge}(\text{Li})$ -детектор (0,7 см <sup>2</sup> x 0,35 см)		Коаксиальный $\text{Ge}(\text{Li})$ -детектор	
	$E_{\gamma}$ , кэВ	$I_{\gamma}$	$E_{\gamma}$ , кэВ	$I_{\gamma}^{(a)}$
I	2	3	4	5
I.	II7	$1,0 \pm 0,5$		
2.	27I	$168,5 \pm 6,5$		
3.	3I5	$18,3 \pm 3,6$		
4.	344	1000		
5.	432	< 2		
6.	4II	$54,5 \pm 3,0$		
7.	497	$6,7 \pm 1,4$		
8.	5II	$203,8 \pm 18,5$		
9.	527	$8,5 \pm 5,7$		
I0.	543	$5,2 \pm 2,7$		
II.	587	$132,5 \pm 14,6$		
I2.	6I5	< 3		
I3.	623	$20,6 \pm 0,6$		
I4.	675	$10,2 \pm 2,0$	676	$6,8 \pm 1,5$
I5.	704	$42,1 \pm 8,2$	704	$20,2 \pm 6,0$
I6.	753	$6,6 \pm 1,4$		
I7.	766	$56,0 \pm 10,0$	766	$28,7 \pm 12$
I8.	779	$67,2 \pm 7,4$	780	$58,7 \pm 12,0$
I9.	930	$27,4 \pm 5,2$	930	$14,8 \pm 3,0$
20.	975	$60,7 \pm 7,2$	975	60,7
21.	99I	$8,9 \pm 1,7$	99I	$35,5 \pm 10,0$
22.	I048	< 8	I048	< 4
23.	III0	$34,2 \pm 8,0$	III0	$36,6 \pm 7,0$
24.	II38	$8,2 \pm 1,9$	II38	$9,0 \pm 1,8$
25.	II88	$7,4 \pm 2,5$	II88	$3,6 \pm 0,7$
26.	I206	$3,4 \pm 1,7$	I206	$2,7 \pm 1,0$
27.			I236,7	< 1,0
28.	I263	$9,1 \pm 1,3$	I263	$11,4 \pm 2,3$
29.	I300	$25,1 \pm 3,7$	I300	$25,0 \pm 2,5$

I	2	3	4	5
30.	I3I9	I8,9±2,3	I3I9	I6,2±3,2
31.	I328	I1,0±2,2	I327	I5,I±3,0
32.	I350	I7,2±I,7	I350	22,2±4,5
33.	I36I	7,7±I,5	I36I	4,5±0,9
34.	I4I2	I0,5±3,0	I4I2	9,2±I,8
35.	I447	4,0±I,0	I447	5,0±I,5
36.			I484	<2,0
37.			I496	5,5±I,1
38.	I5I9	I9,3±2,7	I5I9	I6,7±2,0
39.	I565	I8,4±3,7	I567	I2,8±2,5
40.	I588	9,I±0,9	I586	I6,4±3,2
41.	I598	I8,3±2,5	I598	I7,9±2,0
42.			I644	6,I±3,0
43.	I668	I6,0±2,5	I668	I6,7±3,4
44.	I76I	5,2±I,5	I758	6,3±I,3
45.			I79I	6,6±2,0
46.	I865	I7,7±5,0	I862	I2,6±2,0
47.	I905	25,0±5,0	I903	30,8±3,5
48.			I92I	9,4±2,0
49.	I945	5,9±I,8	I943	9,3±I,0
50.			2257	3,0±I,0
51.			2366	3,7±I,0
52.			2376	I3,6±2,5
53.			2407	I9,2±2,0
54.			252I	I,5±0,7
55.			2537	5,3±2,0
56.			2570	4,0±I,6
57.			2589	5,7±I,2
58.			2620	3,6±0,8
59.			2662	6,4±0,7
60.			2699	5,8±0,9
61.			27II	6,6±2,0
62.			2720	<1,5

\* Интенсивности определены как  $\frac{J_x(E_x)}{J_x(975)} \cdot \frac{J_x(975)}{J_x(344)} \cdot 10^3 =$

$$= \frac{J_x(E_x)}{J_x(975)} \cdot 60,7$$

Т а б л и ц а 3  
Коэффициенты внутренней конверсии переходов в  $^{152}Gd$

нр	$E$ перехода, кэВ	$\alpha_k \times 10^4$ , эксперимент			$\alpha_k \times 10^4$ , теоретические значения <sup>/II/</sup>					Мульти- польнос- ти
		КВК из $\gamma$ -спект- ра Ia)	КВК из $\gamma$ -спект- ра 2б)	КВК из спектров $e-\gamma$ - совпадений	E1	E2	E3	M1	M2	
1	2	3	4	5	6	7	8	9	10	II
I	I. 117,3	5560±3200	-	-	1750	7600	28000	II500	90000	E2
	2. 271,2	540±81	-	524±120	175	620	2000	1070	4600	E2
	3. 315,0	~ 374	-	-	II5	410	1350	690	3000	E2
	4. 344,4	310 <sup>b)</sup>	-	-	97	310	970	550	2100	E2
	5. 351,5 <sup>a)</sup>	-	-	57±21	91	295	900	520	2000	E1
	6. 368,0	-	-	53	85	260	800	460	1650	E1
	7. 411,2	187±19	-	148±40	63	185	570	355	II50	E2
	8. 432,5	> 33000	-	-	-	-	-	-	-	E0
	9. 496,7	234±52	-	-	40	II5	300	205	680	M1
	10. 527,1	354±241	-	-	36	100	250	190	580	E2, M1 (E3, M2)
II	II. 543,5	178±98	-	-	33	93	235	175	530	E2, M1(E3)
	I2. 586,7	192±35	-	184±39	28	79	200	155	430	E0+E2(M1)
	I3. 615,6 <sup>a)</sup>	> 50000	-	-	-	-	-	-	-	E0
	I4. 623I <sup>a)</sup>	66,4±II,9	-	50,7±16,2	25	67	170	125	370	E2
	I5. 675,6 <sup>a)</sup>	65,5±28,8	98,0±44,I	49,0±18,I	21	56	135	103	280	E2
	I6. 679,2 <sup>a)</sup>	{}	{}	-	-	-	-	-	-	E2, M1
	I7. 703,9	45,2±9,I	94,0±28,2	70,4±21,4	19,5	51	125	94	260	E2, (M1)

I	2	3	4	5	6	7	8	9	10	II
18.	752,9*	53,0±19,6	-	-	16,7	43	100	78	215	E2,MI
19.	765,6	34,2±6,9	66,7±28,7		16,5	42	95	75	205	E2,(MI)
20.	779,4	17,9±3,2	20,4±4,9	-	15,8	39,5	90	72	190	EI
21.	928,9 }	36,0±17,6 }	66,8±32,7	86,8±45,1	11,0	26,5	60	47	115	MI,(E3),(M2)
22.	931,2									E2,MI
23.	974,3	32,3±5,2	-	28,4±9,1	9,9	24	53	42	103	MI,E2
24.	990,7	21,4±4,8	5,40±1,64	9,12±2,92	9,5	23,3	51	40	99	E2(EI)
25.	I047,9*	> 340	680	-						E0
26.	II09,8	26,2±6,8	24,5±5,4	-	7,9	19	40	30,5	75	E2,(MI)
27.	II38,0	51,9±13,5	47,3±10,9	84,0±25,0	7,5	18,5	38	29	71	E3,M2
28.	II86,3	4,73±1,84	9,72±2,58	-	7,0	16,5	35	26,5	63	EI
29.	I206*	~17,9	22,5	-	6,9	16,3	34	25,2	61	E2,MI
30.	I236,7	-	53	-						> M2,E0
31.	I261,7	21,9±4,0	17,5±4,0	-	6,3	15	30,5	22,7	53	E2,MI
32.	I299,5	7,04±1,23	7,05±1,00	-	6,0	14	28,5	21,2	50	EI
33.	I317,4*	12,9±3,0	15,0±4,2	-	5,9	13,7	27,5	20,6	48	E2,(MI)
34.	I326,1	14,9±3,2	10,9±2,4	-	5,8	13,5	27,2	20	47,5	E2,(MI)
35.	I348,7*	12,4±5,3 }	9,60±4,42	-	5,6	13	26,3	19,5	46 }	MI MI E2
36.	I352,7*									
37.	I361,0	5,92±3,20	10,1±5,5	-	5,6	13	25,7	19	44,2	E2,(EI)
38.	I4II,7	7,52±2,52	8,60±2,28	-	5,2	12	23,5	17,5	40,5	EI,(E2)
39.	I447,2	7,98±3,03	6,29±2,68	-	5,0	11,2	22	16,5	38	EI(E2)
40.	I484,0	-	> 58	-	4,8	10,7	20,5	15,5	35,2	> M3,E0

I	2	3	4	5	6	7	8	9	10	II
41.	I496,0	-	I3,8±2,8	-	4,7	I0,5	20	I5,0	34,2	E2, M1
42.	I518,4	6,46±I,20	7,47±I,27	-	4,6	I0,2	I9,4	I4,7	33	E2, (EI)
43.	I560,2	6,II±I,54	8,78±2,19	-	4,4	9,7	I8,2	I3,7	31	E2 (EI)
44.	I585,8	20,7±3,I	II,5±2,6	-	4,3	9,4	I7,8	I3,2	30	M1, E2
45.	I596,8	II,6±2,0	II,9±I,9	-	4,25	9,2	I7,5	I3,0	29,5	M1, E2
46.	I670,3	5,32±I,09	5,09±I,23	-	3,95	8,5	I6,0	I2,0	26,5	EI
47.	I757,3	I2,0±3,8	9,92±2,43	-	3-60	7,7	I4,6	I0,7	23,2	E2, M1, (E3)
48.	I790,3	-	5,53±I,83	-	3,50	7,4	I4,0	I0,2	22,I	E2, (EI)
49.	I863,3	4,55±I,4I	6,40±I,28	-	3,25	6,9	I2,8	9,5	20,0	E2
50.	I903,2*	~I3,4	I0,9	-	3,15	6,6	I2,3	9,0	I9,4	E3
51.	2366,3	-	I9,3±5,7	-	2,2I	4,5	7,9	5,5	II,7	M2
52.	2376,2	-	8,05±I,72	-	2,20	4,5	7,8	5,4	II,5	M1, (E3)
53.	2406,2	-	4,I2±0,62	-	2,I8	4,4	7,7	5,3	II,2	E2
54.	252I,7	-	I2,2±6,I	-	2,05	4,0	6,9	4,8	I0,0	M2
55.	2536,7	-	6,03±2,40	-	2,00	3,9	6,8	4,7	9,8	E2, M1, (E3)
56.	2589,0	-	5,33±I,20	-	I,95	3,8	6,6	4,6	9,6	M1 или E3
57.	2620,I	-	5,92±I,50	-	I,92	3,75	6,5	4,5	9,I	M1 или E3
58.	2698,8	-	2,62±0,5I	-	I,86	3,65	6,35	4,2	8,5	EI
59.	2667,7	-	2,I4±0,55	-	I,88	3,70	6,4	4,35	8,8	EI
60.	2710,7	-	2,30±0,74	-	I,84	3,60	6,3	4,2	8,4	EI
61.	2720,7	-	I3	-	I,84	3,60	6,3	4,15	8,4	> M3, EO

\* ) Интенсивности К-линий конверсионных электронов взяты из работы /2/.

a)  $\gamma'$  - спектр I получен с помощью германиевого полупроводникового детектора размером  $0,7\text{cm}^2 \times 0,35$  см.

b)  $\gamma'$  - спектр 2 получен с помощью коаксиального германиевого полупроводникового детектора.

b) Экспериментальные коэффициенты конверсии определялись в предположении, что переход 344,4 кэВ является переходом типа E2.

Таблица 4. Отношения приведенных вероятностей переходов для отдельных уровней  $^{152}Gd$  и  $^{150}Sm$

Кванто- вые харак- терис- тики уровня	Энергии уровней, кэВ		Отношения приведенных вероятностей переходов	$^{152}Gd$			$^{150}Sm$		
	$^{152}Gd$	$^{150}Sm$		Дан- ная раб.	/3/	/15/	/14/	/15/	/16/
$0^{+}'$	615,6	740	$\frac{B(E2, 0^{+}' \rightarrow 2^{+})}{B(E0, 0^{+}' \rightarrow 0^{+})}$	96	67	95	33	60	80
$2^{+}'$	931,2	1047	$\frac{B(E2, 2^{+}' \rightarrow 2^{+})}{B(E2, 2^{+}' \rightarrow 0^{+})}$	60	~50	-	16	-	-
			$\frac{B(E2, 2^{+}' \rightarrow 2^{+})}{B(E2, 2^{+}' \rightarrow 0^{+})}$	3,3	0,4	-	0,7	-	-
			$\frac{B(E2, 2^{+}' \rightarrow 0^{+})}{B(E2, 2^{+}' \rightarrow 4^{+})}$	-	-	-	0,6	-	-
			$\frac{B(E2, 2^{+}' \rightarrow 0^{+})}{B(E2, 2^{+}' \rightarrow 2^{+})}$	180	-	-	-	-	-
			$\frac{B(E0, 2^{+}' \rightarrow 2^{+})}{B(E2, 2^{+}' \rightarrow 0^{+})}$	2,8	-	-	-	-	-
			$\frac{B(E0, 2^{+}' \rightarrow 2^{+})}{B(E2, 2^{+}' \rightarrow 2^{+})}$	0,05	I, I	-	0,05	-	-
			$\frac{B(E0, 2^{+}' \rightarrow 2^{+})}{B(E2, 2^{+}' \rightarrow 0^{+})}$	0,015	0,0055	-	-	-	-
$0^{+}''$	1047,9	1256	$\frac{B(E0, 0^{+}'' \rightarrow 0^{+})}{B(E0, 0^{+}'' \rightarrow 0^{+})}$	59	28	63	16	-	-
			$\frac{B(E0, 0^{+}'' \rightarrow 0^{+})}{B(E2, 0^{+}'' \rightarrow 2^{+})}$	0,015	-	-	-	-	-
			$\frac{B(E2, 0^{+}'' \rightarrow 2^{+})}{B(E0, 0^{+}'' \rightarrow 0^{+})}$	8000	-	-	-	-	-
			$\frac{B(E2, 0^{+}'' \rightarrow 2^{+})}{B(E0, 0^{+}'' \rightarrow 0^{+})}$	< 16	~4	15	~9	-	-
$2^{+}''$	II09,8	II67	$\frac{B(E2, 2^{+}'' \rightarrow 2^{+})}{B(E2, 2^{+}'' \rightarrow 0^{+})}$	10	-	-	I, 6	-	-
$2^{+}'''$	I3I8,6	-	$\frac{B(E2, 2^{+}''' \rightarrow 0^{+})}{B(E2, 2^{+}''' \rightarrow 0^{+})}$	62	-	-	-	-	-
			$\frac{B(E2, 2^{+}''' \rightarrow 0^{+})}{B(E2, 2^{+}''' \rightarrow 2^{+})}$	3,5	-	-	-	-	-
			$\frac{B(E2, 2^{+}''' \rightarrow 2^{+})}{B(E2, 2^{+}''' \rightarrow 0^{+})}$	I7	-	-	-	-	-

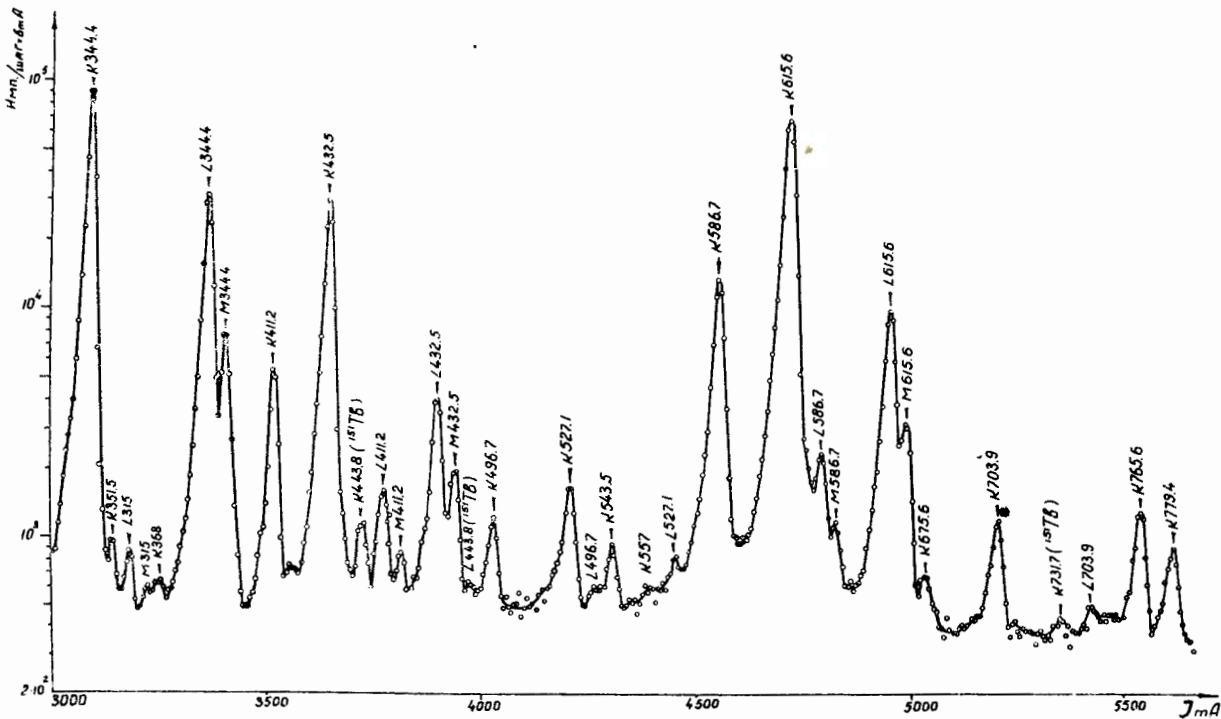


Рис. 1. Спектр конверсионных электронов  $^{152}\text{Tb}$  в области энергий 320–780 кэв.

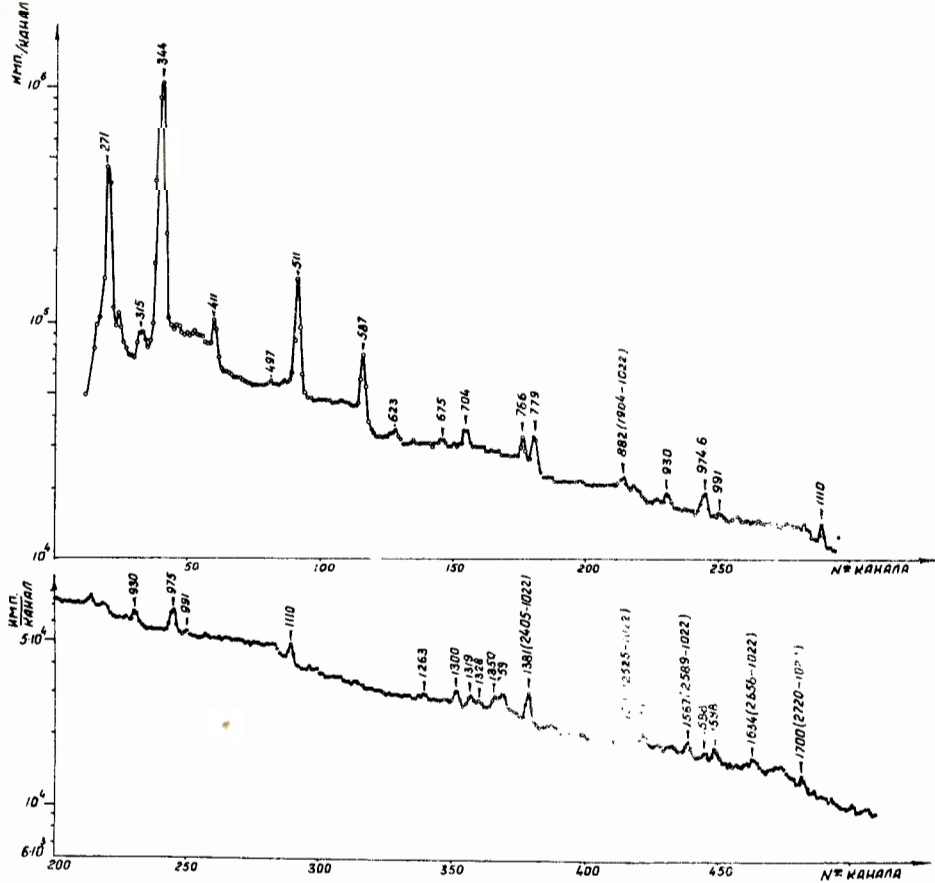


Рис. 2. Гамма-спектр  $^{152}\text{Tb}$ , полученный при измерении на плоскопараллельном  $\text{Ge}(\text{Li})$ -детекторе.

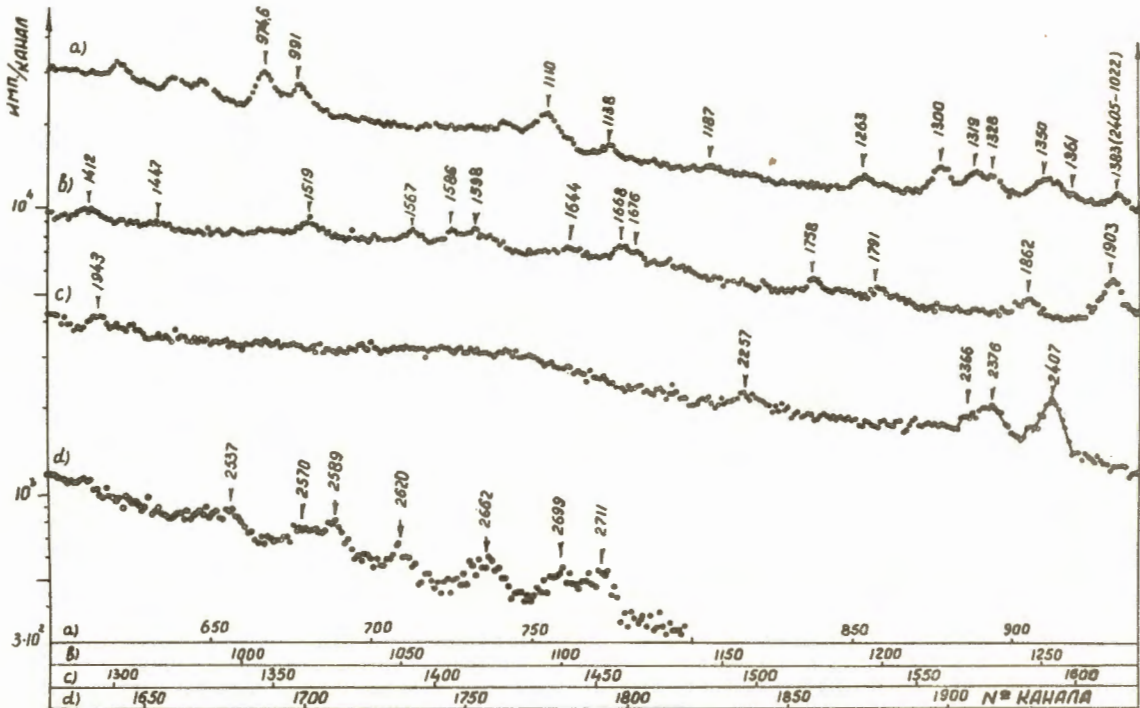


Рис. 3. Гамма-спектр  $^{152}\text{ Tb}$ , полученный при измерении на коаксиальном  $\text{Ge}(\text{Li})$ -детекторе.

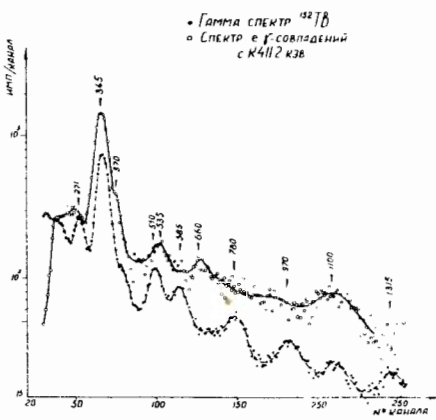
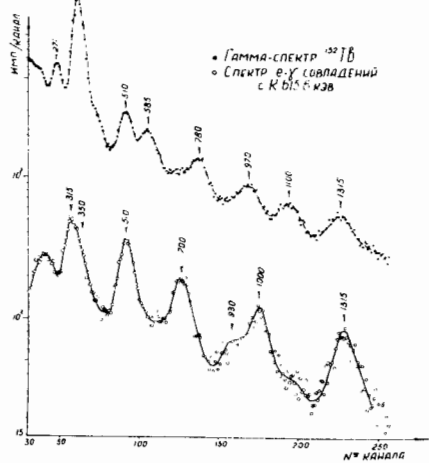
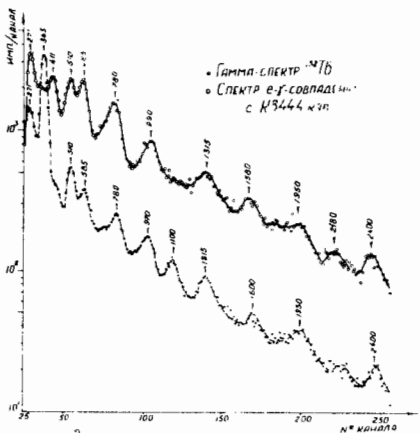


Рис. 4. Спектры  $e - \gamma$  -совпадений  $^{152}\text{Tb}$ .

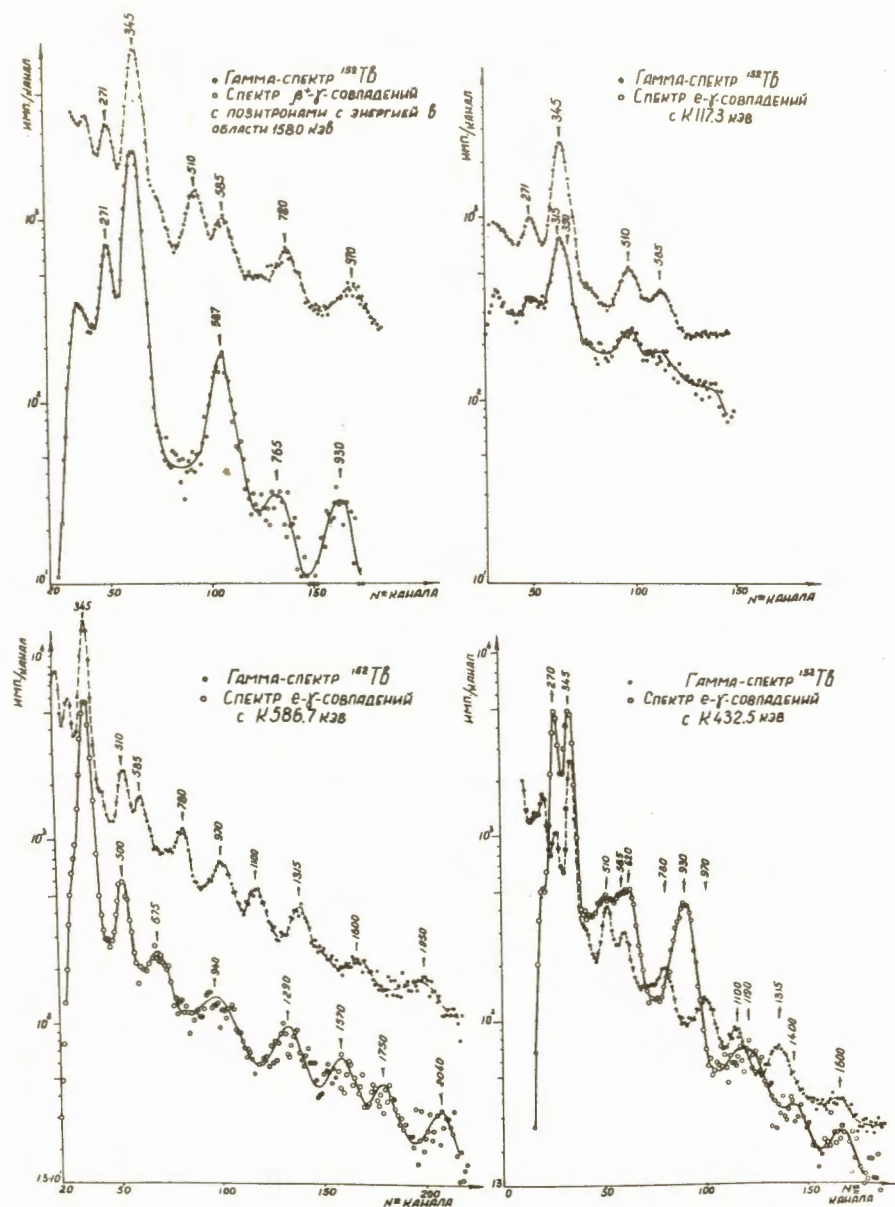


Рис. 5. Спектры  $e^- - \gamma$ -совпадений и спектр  $\beta^+ - \gamma$ -совпадений  $^{152}\text{Tb}$ .

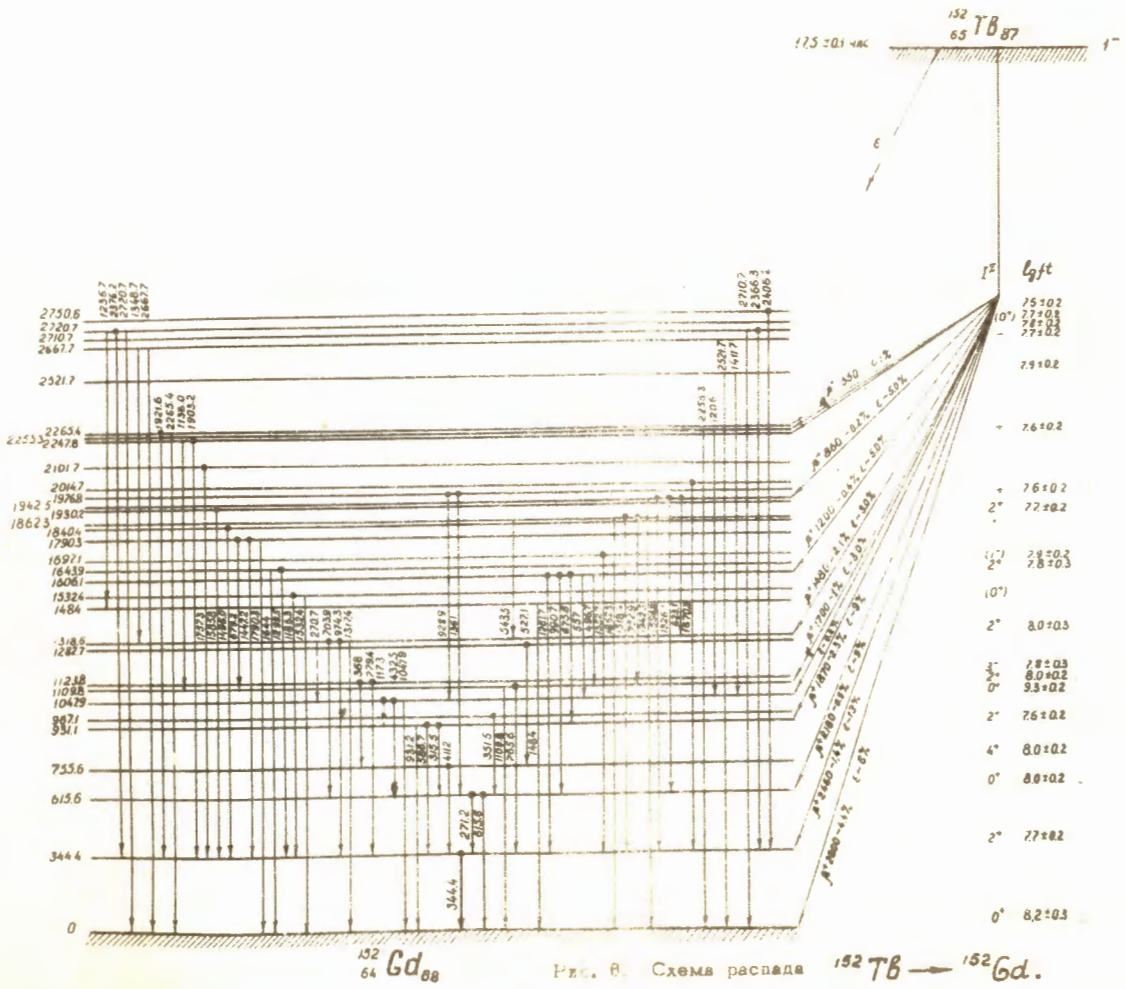


Рис. 8. Схема распада  $^{152}\text{Tb} \rightarrow ^{152}\text{Gd}$ .

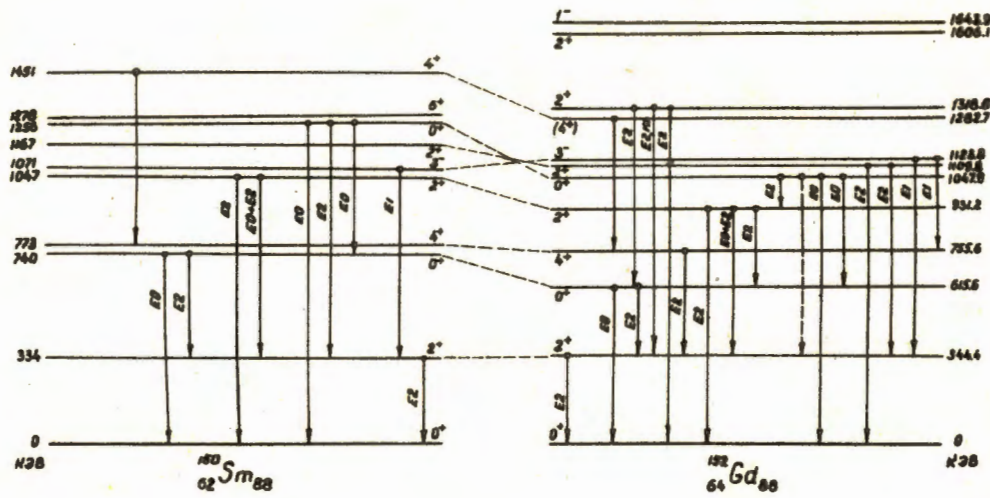


Рис. 7. Сравнение схем уровней  $^{152}\text{Gd}$  и  $^{150}\text{Sm}$ .